

Západočeská univerzita v Plzni
Fakulta aplikovaných věd
Katedra kybernetiky



SEMESTRÁLNÍ PRÁCE Č. 1

TEORIE ODHADU A ZPRACOVÁNÍ SIGNÁLŮ
ZKRATKA KATEDRY/ZKRATKA PŘEDMĚTU (KKY/TOD)

Jan Burian
19. října 2022

Obsah

1	Zadání	3
2	Vypracování	4
2.1	Teoretické úkoly	4
2.1.1	Úkol (i)	4
2.1.2	Úkol (ii)	6
2.1.3	Úkol (iii)	11
2.2	Simulační úkoly	12
2.2.1	Úkol (i)	13
2.2.2	Úkol (ii)	16
3	Závěr	17
A	Zdrojový kód z Matlabu	18

1 Zadání

Odhad konstantní veličiny

Zadání semestrální práce č. 1

Uvažujme objekt, který se pohybuje po přímce s náhodným zrychlením, zatímco je s konstantní periodou T měřena jeho poloha. Cílem je na základě měření a modelu systému odhadnout neznámou, ale konstantní počáteční polohu a rychlost objektu. V diskrétním případě můžeme uvažovat lineární dynamický systém s popisem

$$\mathbf{x}_{k+1} = \begin{bmatrix} 1 & T \\ 0 & 1 \end{bmatrix} \mathbf{x}_k + \mathbf{w}_k, \quad \mathbf{w}_k \sim \mathcal{N} \left(\begin{bmatrix} 0 \\ 0 \end{bmatrix}, q \begin{bmatrix} \frac{T^3}{3} & \frac{T^2}{2} \\ \frac{T^2}{2} & T \end{bmatrix} \right), \quad \mathbf{x}_0 = \begin{bmatrix} \hat{x}_0^{\text{poloha}} \\ \hat{x}_0^{\text{rychlost}} \end{bmatrix},$$
$$z_k = \begin{bmatrix} 1 & 0 \end{bmatrix} \mathbf{x}_k + v_k, \quad v_k \sim \mathcal{N}(0, R),$$

kde q je intenzita šumu, R je variance chyby měření a procesy $[\mathbf{w}_k]_{k=1}^{+\infty}$ a $[v_k]_{k=1}^{+\infty}$ jsou vzájemně nezávislé bílé šумы. Počáteční stav \mathbf{x}_0 zvolte libovolně.

Teoretické úkoly: Odhad podle vážených nejmenších čtverců z prvních několika měření.

- (i) Sestavte rovnici $\mathbf{z} = \mathbf{H}\mathbf{x}_0 + \mathbf{e}$, kde $\mathbf{z} = [z_0, \dots, z_3]^T$. Určete kovarianční matici $\Sigma = E(\mathbf{e}\mathbf{e}^T)$ chyby \mathbf{e} a formulujte problém odhadu \mathbf{x}_0 pomocí vážených nejmenších čtverců.
- (ii) Pozorujte, co se stane, když budete využívat různá měření. Uvažujte A) z_0, z_1 , B) z_0, z_2 , C) z_1, z_2 a vyjádřete předpis pro odhady a kovarianční matice chyb odhadů obecně, tj. v závislosti jen na T, q , a R . Uvědomte si, že odhadujete-li konstantu, kovarianční matice odhadu a chyby odhadu jsou stejné. Jaké pravděpodobnostní rozdělení mají odhady a proč?
Nápověda: stačí vynechat některé řádky z původní rovnice $\mathbf{z} = \mathbf{H}\mathbf{x}_0 + \mathbf{e}$, z bodu (i).
Dosad'te do odhadů a kovariančních matic hodnoty $T = 1$, $q = 0.1$ a $R = 1$. S těmito parametry také vyjádřete odhady a kovarianční matice pro D) z_0, z_1, z_2 a E) z_0, z_1, z_2, z_3 . Popište, co se děje, když některé měření chybí. Co kdyby bylo měření jenom jedno?
- (iii) Interpretovat přesnost přímo z hodnot kovariančních matic může být obtížné. Lze ji ale znázornit graficky, pomocí 3- σ elips. Pro nestranný odhad s kovarianční maticí \mathbf{P} se jedná o křivku $\{\mathbf{x} \in \mathbb{R}^2 : (\mathbf{x} - \mathbf{x}_0)^T \mathbf{P}^{-1} (\mathbf{x} - \mathbf{x}_0) = 9\}$. Porovnejte 3- σ elipsy pro všechny případy A)–E). Lze odhady uspořádat od nejlepšího po nejhorší?

Návod: Najděte křivky $\{\mathbf{u} \in \mathbb{R}^2 : \mathbf{u}^T \mathbf{u} = 1\}$, pak použijte transformaci $\mathbf{x} = \mathbf{x}_0 + 3\mathbf{S}\mathbf{u}$, kde \mathbf{S} je maticová odmocnina matice \mathbf{P} splňující $\mathbf{S}\mathbf{S}^T = \mathbf{P}$, například Choleského faktor.

Simulační úkoly: Simulační ověření teoretických výsledků.

Pomocí funkce `randn` vygenerujte 1000 realizací náhodného vektoru \mathbf{z} . Pro každý nasimulovaný vektor měření \mathbf{z} dopočítejte realizace odhadů $\hat{\mathbf{x}}_0$ pro varianty A)–E).

- (i) Odhadněte hustoty jednotlivých odhadů *polohy* pomocí normalizovaných histogramů. Porovnejte je mezi sebou, a také je porovnejte s teoretickými hustotami – s marginálními hustotami odhadů polohy, tedy $\mathcal{N}(\hat{x}_0^{\text{poloha}}, \mathbf{P}_{\text{na pozici 1,1}}^{\text{daný případ}})$.
- (ii) Pro variantu E) porovnejte "teoreticky odvozenou" 3- σ elipsu s příslušnými realizacemi odhadu a 3-sigma elipsou odpovídající výběrové kovarianční matici.

2 Vypracování

Semestrální práce byla z velké části řešena v programovém prostředí Matlab.

2.1 Teorerické úkoly

2.1.1 Úkol (i)

Nejdříve byla sestavena následující rovnice:

$$z = \mathbf{H}x_0 + e, \quad (1)$$

kde $z = [z_0, \dots, z_3]^T$.

Pro získání $z = [z_0, \dots, z_3]^T$ byl zadaný systém nejprve přepsán do následujícího tvaru:

$$\mathbf{x}_{k+1} = \mathbf{F}\mathbf{x}_k + \mathbf{G}\mathbf{w}_k, \quad \mathbf{w}_k \sim \mathcal{N}(\mathbf{0}, \mathbf{Q}), \quad (2)$$

$$\mathbf{z}_k = \mathbf{H}\mathbf{x}_k + \mathbf{v}_k, \quad \mathbf{v}_k \sim \mathcal{N}(\mathbf{0}, \mathbf{R}), \quad (3)$$

kde $\mathbf{F} = \begin{bmatrix} 1 & T \\ 0 & 1 \end{bmatrix}$, $\mathbf{G} = I$, $\mathbf{Q} = q \begin{bmatrix} \frac{T^3}{3} & \frac{T^2}{2} \\ \frac{T^2}{2} & T \end{bmatrix}$, $\mathbf{H} = [1 \ 0]$.

Ze zadání je dále známo, že náhodné veličiny \mathbf{w}_k a \mathbf{v}_k jsou vzájemně nezávislé bílé šумы $\forall k \in \mathbb{N}$.

Následně již bylo možné začít sestavovat trajektorii stavu a měření.

$$\begin{bmatrix} x_0 \\ x_1 \\ x_2 \\ x_3 \end{bmatrix} = \begin{bmatrix} x_0 \\ \mathbf{F}x_0 + \mathbf{w}_0 \\ \mathbf{F}^2x_0 + \mathbf{F}w_0 + w_1 \\ \mathbf{F}^3x_0 + \mathbf{F}^2w_0 + \mathbf{F}w_1 + w_2 \end{bmatrix} = \begin{bmatrix} I \\ \mathbf{F} \\ \mathbf{F}^2 \\ \mathbf{F}^3 \end{bmatrix} x_0 + \begin{bmatrix} 0 & 0 & 0 \\ I & 0 & 0 \\ \mathbf{F} & I & 0 \\ \mathbf{F}^2 & \mathbf{F} & I \end{bmatrix} \begin{bmatrix} w_0 \\ w_1 \\ w_2 \end{bmatrix} \quad (4)$$

$$\begin{bmatrix} z_0 \\ z_1 \\ z_2 \\ z_3 \end{bmatrix} = \begin{bmatrix} \mathbf{H}x_0 + v_0 \\ \mathbf{H}x_1 + v_1 \\ \mathbf{H}x_2 + v_2 \\ \mathbf{H}x_3 + v_3 \end{bmatrix} = \underbrace{\begin{bmatrix} \mathbf{H} \\ \mathbf{H}\mathbf{F} \\ \mathbf{H}\mathbf{F}^2 \\ \mathbf{H}\mathbf{F}^3 \end{bmatrix}}_J x_0 + \begin{bmatrix} 0 & 0 & 0 \\ \mathbf{H} & 0 & 0 \\ \mathbf{H}\mathbf{F} & \mathbf{H} & 0 \\ \mathbf{H}\mathbf{F}^2 & \mathbf{H}\mathbf{F} & \mathbf{H} \end{bmatrix} \begin{bmatrix} w_0 \\ w_1 \\ w_2 \end{bmatrix} + \begin{bmatrix} v_0 \\ v_1 \\ v_2 \\ v_3 \end{bmatrix} \quad (5)$$

V dalším kroku mohla být zavedena chyba e , která je definována následovně:

$$e = \begin{bmatrix} 0 & 0 & 0 \\ \mathbf{H} & 0 & 0 \\ \mathbf{H}\mathbf{F} & \mathbf{H} & 0 \\ \mathbf{H}\mathbf{F}^2 & \mathbf{H}\mathbf{F} & \mathbf{H} \end{bmatrix} \begin{bmatrix} w_0 \\ w_1 \\ w_2 \end{bmatrix} + \begin{bmatrix} v_0 \\ v_1 \\ v_2 \\ v_3 \end{bmatrix} \quad (6)$$

Zjednodušený zápis chyby e pomocí jednoho vektoru:

$$e = \begin{bmatrix} v_0 \\ \mathbf{H}w_0 + v_1 \\ \mathbf{H}\mathbf{F}w_0 + \mathbf{H}w_1 + v_2 \\ \mathbf{H}\mathbf{F}^2w_0 + \mathbf{H}\mathbf{F}w_1 + \mathbf{H}w_2 + v_3 \end{bmatrix} \quad (7)$$

Nyní je potřeba vypočítat kovarianční matici $\Sigma = E(ee^T)$ chyby e , která je potřebná k formulaci problému odhadu x_0 pomocí metody vážených nejmenších čtverců.

$$ee^T = \begin{bmatrix} v_0 \\ Hw_0 + v_1 \\ HFw_0 + Hw_1 + v_2 \\ HF^2w_0 + HFw_1 + Hw_2 + v_3 \end{bmatrix} \begin{bmatrix} v_0 \\ Hw_0 + v_1 \\ HFw_0 + Hw_1 + v_2 \\ HF^2w_0 + HFw_1 + Hw_2 + v_3 \end{bmatrix}^T \quad (8)$$

$$ee^T = \begin{bmatrix} v_0^2 & v_0(v_1 + Hw_0) & v_0(v_2 + Hw_1 + FHw_0) & v_0(Hw_0F^2 + Hw_1F + v_3 + Hw_2) \\ v_0(v_1 + Hw_0) & (v_1 + Hw_0)^2 & (v_1 + Hw_0)(v_2 + Hw_1 + FHw_0) & (v_1 + Hw_0)(Hw_0F^2 + Hw_1F + v_3 + Hw_2) \\ v_0(v_2 + Hw_1 + FHw_0) & (v_1 + Hw_0)(v_2 + Hw_1 + FHw_0) & (v_2 + Hw_1 + FHw_0)^2 & (v_2 + Hw_1 + FHw_0)(Hw_0F^2 + Hw_1F + v_3 + Hw_2) \\ v_0(Hw_0F^2 + Hw_1F + v_3 + Hw_2) & (v_1 + Hw_0)(Hw_0F^2 + Hw_1F + v_3 + Hw_2) & (v_2 + Hw_1 + FHw_0)(Hw_0F^2 + Hw_1F + v_3 + Hw_2) & (Hw_0F^2 + Hw_1F + v_3 + Hw_2)^2 \end{bmatrix} \quad (9)$$

Nyní aplikujeme na jednotlivé prvky právě vypočtené matice, která je výsledkem součinu ee^T , operátor střední hodnoty E . Získáme kovarianční matici Σ v tomto tvaru:

$$\Sigma = \begin{bmatrix} R & 0 & 0 & 0 \\ 0 & H^2Q + R & H^2FQ & H^2F^2Q \\ 0 & H^2FQ & H^2F^2Q + H^2Q + R & H^2F^3Q + H^2FQ \\ 0 & H^2F^2Q & H^2F^3Q + H^2FQ & H^2F^4Q + H^2F^2Q + H^2Q + R \end{bmatrix} \quad (10)$$

Po dosazení za matice H, F a Q dostaneme:

$$\Sigma = \begin{bmatrix} R & 0 & 0 & 0 \\ 0 & \frac{qT^3}{3} + R & \frac{5qT^3}{6} & \frac{4qT^3}{3} \\ 0 & \frac{5qT^3}{6} & \frac{8qT^3}{3} + R & \frac{14qT^3}{3} \\ 0 & \frac{4qT^3}{3} & \frac{14qT^3}{3} & 9qT^3 + R \end{bmatrix} \quad (11)$$

Následně je třeba právě vypočtenou kovarianční matici invertovat. Získaná invertovaná matice Σ^{-1} bude využita jako váhová matice ve formulaci problému odhadu x_0 pomocí vážených nejmenších čtverců.

Metoda odhadu pomocí vážených nejmenších čtverců je definovaná následující rovnicí:

$$\hat{x}^{\text{MVNČ}}(z_1 : z_3) = (J^T \Sigma^{-1} J)^{-1} J^T \Sigma_{z_1 : z_3}^{-1} \quad (12)$$

Matice J je definována následovně:

$$J = \begin{bmatrix} H \\ HF \\ HF^2 \\ HF^3 \end{bmatrix} = \begin{bmatrix} 1 & 0 \\ 1 & T \\ 1 & 2T \\ 1 & 3T \end{bmatrix} \quad (13)$$

2.1.2 Úkol (ii)

Cílem druhého úkolu je pozorovat, co se stane pokud budou využívána různá měření. Pro pozorování budou uvažována měření A) z_0, z_1 , B) z_0, z_2 , C) z_1, z_2 , C) z_0, z_1, z_2 a E) z_0, z_1, z_2, z_3 . Dalším bodem je obecné vyjádření předpisu pro odhady a určení kovarianční matice chyb odhadů, taktéž obecně. V dalším kroku budou do odhadů a kovariančních matic dosazeny konkrétní hodnoty:

$$T = 1, q = 0.1 \text{ a } R = 1.$$

(A) Měření z_0, z_1

Pro získání obecného vyjádření předpisu pro odhad a určení kovarianční matice chyb odhadu budu využívat stejné kroky jako v teoretickém úkolu (i). Opět využiji rovnici (1). Následně začnu odvozovat trajektorii stavu a měření:

$$\begin{bmatrix} x_0 \\ x_1 \end{bmatrix} = \begin{bmatrix} x_0 \\ Fx_0 + w_0 \end{bmatrix} = \begin{bmatrix} I \\ F \end{bmatrix} x_0 + \begin{bmatrix} 0 \\ I \end{bmatrix} w_0 \quad (14)$$

$$\begin{bmatrix} z_0 \\ z_1 \end{bmatrix} = \begin{bmatrix} Hx_0 + v_0 \\ Hx_1 + v_1 \end{bmatrix} = \underbrace{\begin{bmatrix} H \\ HF \end{bmatrix}}_J x_0 + \begin{bmatrix} 0 \\ H \end{bmatrix} w_0 + \begin{bmatrix} v_0 \\ v_1 \end{bmatrix} \quad (15)$$

Nyní mohu zavést chybu e , která je definována následovně:

$$e = \begin{bmatrix} 0 \\ H \end{bmatrix} w_0 + \begin{bmatrix} v_0 \\ v_1 \end{bmatrix} \quad (16)$$

Zjednodušený zápis chyby e pomocí jednoho vektoru:

$$e = \begin{bmatrix} v_0 \\ Hw_0 + v_1 \end{bmatrix} \quad (17)$$

V dalším kroku je již možné vypočítat kovarianční matici $\Sigma = E(ee^T)$ chyby e .

$$ee^T = \begin{bmatrix} v_0 \\ Hw_0 + v_1 \end{bmatrix} \begin{bmatrix} v_0 & Hw_0 + v_1 \end{bmatrix} = \begin{bmatrix} v_0^2 & v_0(v_1 + Hw_0) \\ v_0(v_1 + Hw_0) & (v_1 + Hw_0)^2 \end{bmatrix} \quad (18)$$

$$\Sigma = \begin{bmatrix} R & 0 \\ 0 & H^2Q + R \end{bmatrix} = \begin{bmatrix} R & 0 \\ 0 & \frac{qT^3}{3} + R \end{bmatrix} \quad (19)$$

Po modifikaci rovnice (12) pro měření z_0, z_1 dostanu následující výsledek:

$$\hat{x} = \begin{bmatrix} 1 & 0 \\ \frac{-1}{T} & \frac{1}{T} \end{bmatrix} \begin{bmatrix} z_0 \\ z_1 \end{bmatrix} \quad (20)$$

Po dosazení za T, q a R dostanu:

$$\Sigma = \begin{bmatrix} 1 & 0 \\ 0 & \frac{31}{30} \end{bmatrix}, \quad \hat{x} = \begin{bmatrix} 1 & 0 \\ -1 & 1 \end{bmatrix} \begin{bmatrix} z_0 \\ z_1 \end{bmatrix} \quad (21)$$

(B) **Měření** z_0, z_2

Využiji stejný postup jako u předešlého měření z_0, z_1 . Odvození trajektorie stavu a měření:

$$\begin{bmatrix} x_0 \\ x_2 \end{bmatrix} = \begin{bmatrix} x_0 \\ F^2 x_0 + F w_0 + w_1 \end{bmatrix} = \begin{bmatrix} I \\ F^2 \end{bmatrix} x_0 + \begin{bmatrix} 0 & 0 \\ F & I \end{bmatrix} \begin{bmatrix} w_0 \\ w_1 \end{bmatrix} \quad (22)$$

$$\begin{bmatrix} z_0 \\ z_2 \end{bmatrix} = \begin{bmatrix} H x_0 + v_0 \\ H x_2 + v_2 \end{bmatrix} = \underbrace{\begin{bmatrix} H \\ H F^2 \end{bmatrix}}_J x_0 + \begin{bmatrix} 0 & 0 \\ H F & H \end{bmatrix} \begin{bmatrix} w_0 \\ w_1 \end{bmatrix} + \begin{bmatrix} v_0 \\ v_2 \end{bmatrix} \quad (23)$$

Nyní mohu zavést chybu e , která je definována následovně:

$$e = \begin{bmatrix} 0 & 0 \\ H F & H \end{bmatrix} \begin{bmatrix} w_0 \\ w_1 \end{bmatrix} + \begin{bmatrix} v_0 \\ v_2 \end{bmatrix} \quad (24)$$

Zjednodušený zápis chyby e pomocí jednoho vektoru:

$$e = \begin{bmatrix} v_0 \\ H F w_0 + H F w_1 + v_2 \end{bmatrix} \quad (25)$$

V dalším kroku je již možné vypočítat kovarianční matici $\Sigma = E(ee^T)$ chyby e .

$$\begin{aligned} \Sigma &= \begin{bmatrix} v_0 \\ H F w_0 + H F w_1 + v_2 \end{bmatrix} \begin{bmatrix} v_0 & H F w_0 + H F w_1 + v_2 \end{bmatrix} = \\ &= \begin{bmatrix} v_0^2 & v_0(v_2 + H w_1 + F H w_0) \\ v_0(v_2 + H w_1 + F H w_0) & (v_2 + H w_1 + F H w_0)^2 \end{bmatrix} = \begin{bmatrix} R & 0 \\ 0 & \frac{8qT^3}{3} \end{bmatrix} \end{aligned} \quad (26)$$

Po modifikaci rovnice (12) pro měření z_0, z_2 dostanu následující výsledek:

$$\hat{x} = \begin{bmatrix} 1 & 0 \\ \frac{-1}{2T} & \frac{1}{2T} \end{bmatrix} \begin{bmatrix} z_0 \\ z_2 \end{bmatrix} \quad (27)$$

Po dosazení za T, q a R dostanu:

$$\Sigma = \begin{bmatrix} 1 & 0 \\ 0 & \frac{19}{15} \end{bmatrix}, \quad \hat{x} = \begin{bmatrix} 1 & 0 \\ \frac{-1}{2} & \frac{1}{2} \end{bmatrix} \begin{bmatrix} z_0 \\ z_2 \end{bmatrix} \quad (28)$$

(C) **Měření** z_1, z_2

Použiji stejný postup jako u předešlých měření. Odvození trajektorie stavu a měření:

$$\begin{bmatrix} x_1 \\ x_2 \end{bmatrix} = \begin{bmatrix} \mathbf{F}x_0 + w_0 \\ \mathbf{F}^2x_0 + \mathbf{F}w_0 + w_1 \end{bmatrix} = \begin{bmatrix} \mathbf{F} \\ \mathbf{F}^2 \end{bmatrix} x_0 + \begin{bmatrix} I & 0 \\ \mathbf{F} & I \end{bmatrix} \begin{bmatrix} w_0 \\ w_1 \end{bmatrix} \quad (29)$$

$$\begin{bmatrix} z_1 \\ z_2 \end{bmatrix} = \begin{bmatrix} \mathbf{H}x_1 + v_1 \\ \mathbf{H}x_2 + v_2 \end{bmatrix} = \underbrace{\begin{bmatrix} \mathbf{H}\mathbf{F} \\ \mathbf{H}\mathbf{F}^2 \end{bmatrix}}_J x_0 + \begin{bmatrix} H & 0 \\ \mathbf{H}\mathbf{F} & H \end{bmatrix} \begin{bmatrix} w_0 \\ w_1 \end{bmatrix} + \begin{bmatrix} v_1 \\ v_2 \end{bmatrix} \quad (30)$$

Nyní mohu opět zavést chybu e , která je definována následovně:

$$e = \begin{bmatrix} H & 0 \\ \mathbf{H}\mathbf{F} & H \end{bmatrix} \begin{bmatrix} w_0 \\ w_1 \end{bmatrix} + \begin{bmatrix} v_1 \\ v_2 \end{bmatrix} \quad (31)$$

Zjednodušený zápis chyby e pomocí jednoho vektoru:

$$e = \begin{bmatrix} \mathbf{H}w_0 + v_1 \\ \mathbf{H}\mathbf{F}w_0 + \mathbf{H}w_1 + v_2 \end{bmatrix} \quad (32)$$

V dalším kroku je již opět možné vypočítat kovarianční matici $\Sigma = E(ee^T)$ chyby e .

$$\begin{aligned} \Sigma &= \begin{bmatrix} \mathbf{H}w_0 + v_1 \\ \mathbf{H}\mathbf{F}w_0 + \mathbf{H}w_1 + v_2 \end{bmatrix} \begin{bmatrix} \mathbf{H}w_0 + v_1 & \mathbf{H}\mathbf{F}w_0 + \mathbf{H}w_1 + v_2 \end{bmatrix} = \\ &= \begin{bmatrix} (v_1 + \mathbf{H}w_0)^2 & (v_1 + \mathbf{H}w_0)(v_2 + \mathbf{H}w_1 + \mathbf{F}\mathbf{H}w_0) \\ (v_1 + \mathbf{H}w_0)(v_2 + \mathbf{H}w_1 + \mathbf{F}\mathbf{H}w_0) & (v_2 + \mathbf{H}w_1 + \mathbf{F}\mathbf{H}w_0)^2 \end{bmatrix} = \\ &= \begin{bmatrix} \frac{qT^3}{3} + \mathbf{R} & \frac{5qT^3}{6} \\ \frac{5qT^3}{6} & \frac{8qT^3}{3} + \mathbf{R} \end{bmatrix} \end{aligned} \quad (33)$$

Po modifikaci rovnice (12) pro měření z_1, z_2 dostanu následující výsledek:

$$\hat{x} = \begin{bmatrix} 2 & -1 \\ \frac{-1}{T} & \frac{1}{T} \end{bmatrix} \begin{bmatrix} z_1 \\ z_2 \end{bmatrix} \quad (34)$$

Po dosazení za T, q a R dostanu:

$$\Sigma = \begin{bmatrix} \frac{31}{30} & \frac{1}{12} \\ \frac{1}{12} & \frac{19}{15} \end{bmatrix}, \quad \hat{x} = \begin{bmatrix} 2 & -1 \\ -1 & 1 \end{bmatrix} \begin{bmatrix} z_1 \\ z_2 \end{bmatrix} \quad (35)$$

(D) **Měření** z_0, z_1, z_2

Postup je obdobný jako u předchozích příkladů. Sestavení trajektorie stavu a měření:

$$\begin{bmatrix} x_0 \\ x_1 \\ x_2 \end{bmatrix} = \begin{bmatrix} x_0 \\ Fx_0 + w_0 \\ F^2x_0 + Fw_0 + w_1 \end{bmatrix} = \begin{bmatrix} I \\ F \\ F^2 \end{bmatrix} x_0 + \begin{bmatrix} 0 & 0 \\ I & 0 \\ F & I \end{bmatrix} \begin{bmatrix} w_0 \\ w_1 \end{bmatrix} \quad (36)$$

$$\begin{bmatrix} z_0 \\ z_1 \\ z_2 \end{bmatrix} = \begin{bmatrix} Hx_0 + v_0 \\ Hx_1 + v_1 \\ Hx_2 + v_2 \end{bmatrix} = \underbrace{\begin{bmatrix} H \\ HF \\ HF^2 \end{bmatrix}}_J x_0 + \begin{bmatrix} 0 & 0 \\ H & 0 \\ HF & H \end{bmatrix} \begin{bmatrix} w_0 \\ w_1 \end{bmatrix} + \begin{bmatrix} v_0 \\ v_1 \\ v_2 \end{bmatrix} \quad (37)$$

V dalším kroku mohla být opět zavedena chyba e , která je definována následovně:

$$e = \begin{bmatrix} 0 & 0 \\ H & 0 \\ HF & H \end{bmatrix} \begin{bmatrix} w_0 \\ w_1 \end{bmatrix} + \begin{bmatrix} v_0 \\ v_1 \\ v_2 \end{bmatrix} \quad (38)$$

Zjednodušený zápis chyby e pomocí jednoho vektoru:

$$e = \begin{bmatrix} v_0 \\ Hw_0 + v_1 \\ HFw_0 + Hw_1 + v_2 \end{bmatrix} \quad (39)$$

Nyní je potřeba vypočítat kovarianční matici $\Sigma = E(ee^T)$ chyby e , která je potřebná k formulaci problému odhadu x_0 pomocí metody vážených nejmenších čtverců.

$$ee^T = \begin{bmatrix} v_0 \\ Hw_0 + v_1 \\ HFw_0 + Hw_1 + v_2 \end{bmatrix} \begin{bmatrix} v_0 & Hw_0 + v_1 & HFw_0 + Hw_1 + v_2 \end{bmatrix} \quad (40)$$

$$\Sigma = \begin{bmatrix} R & 0 & 0 \\ 0 & \frac{qT^3}{3} + R & \frac{5qT^3}{6} \\ 0 & \frac{5qT^3}{6} & \frac{8qT^3}{3} + R \end{bmatrix} \quad (41)$$

Po modifikaci rovnice (12) pro měření z_0, z_1, z_2 dostanu následující výsledek:

$$\hat{x} = \begin{bmatrix} \frac{2qT^3+15R}{2qT^3+18R} & \frac{3R}{qT^3+9R} & -\frac{3R}{2qT^3+18R} \\ -\frac{5qT^3+18R}{4(qT^4+9RT)} & \frac{3T^2q}{2qT^3+18R} & \frac{18R-T^3q}{4T(qT^3+9R)} \end{bmatrix} \begin{bmatrix} z_0 \\ z_1 \\ z_2 \end{bmatrix} \quad (42)$$

Po dosazení za T, q a R dostanu:

$$\Sigma = \begin{bmatrix} 1 & 0 & 0 \\ 0 & \frac{31}{30} & \frac{1}{12} \\ 0 & \frac{1}{12} & \frac{19}{15} \end{bmatrix}, \quad \hat{x} = \begin{bmatrix} \frac{76}{91} & \frac{30}{91} & \frac{-15}{91} \\ \frac{-185}{364} & \frac{3}{182} & \frac{179}{364} \end{bmatrix} \begin{bmatrix} z_0 \\ z_1 \\ z_2 \end{bmatrix} \quad (43)$$

(E) **Měření** z_0, z_1, z_2, z_3

Obecné vyjádření pro odhad a určení obecné kovarianční matice chyb odhadů pro tohoto měření bylo kompletně řešeno v úkolu (i). V tomto bodě bude tedy pouze dosazeno do obecných předpisů za T, q a R v souladu se zadáním. Výsledná kovarianční matice a výsledný odhad pro měření z_0, z_1, z_2, z_3 budou vypadat následovně:

$$\mathbf{\Sigma} = \begin{bmatrix} 1 & 0 & 0 & 0 \\ 0 & \frac{31}{30} & \frac{1}{12} & \frac{2}{15} \\ 0 & \frac{1}{12} & \frac{19}{15} & \frac{7}{15} \\ 0 & \frac{2}{15} & \frac{7}{15} & \frac{19}{10} \end{bmatrix}, \quad \hat{x} = \begin{bmatrix} \frac{3569}{5025} & \frac{652}{1675} & \frac{152}{1675} & \frac{-956}{5025} \\ \frac{-24559}{75375} & \frac{-1772}{25125} & \frac{2978}{25125} & \frac{20941}{75375} \end{bmatrix} \begin{bmatrix} z_0 \\ z_1 \\ z_2 \\ z_3 \end{bmatrix} \quad (44)$$

Jednotlivé odhady mají normální (Gaussovo) pravděpodobnostní rozdělení, a to kvůli aditivním bílým šumům \mathbf{w}_k a \mathbf{v}_k , které oba mají normální rozdělení a ovlivňují každé měření. Pokud chybí některá měření dojde k logickému snížení přesnosti, což způsobí horší odhad. Dále byla na počtu měření závislá velikost matice estimátorů, pokud např. byla k dispozici všechna měření, byla velikost matice 2×4 . Na druhou stranu, pokud byla k dispozici pouze dvě měření, pak byla velikost matice 2×2 . V případě, že by bylo k dispozici pouze jedno měření, pak by došlo k přímému ovlivnění odhadu veličiny.

2.1.3 Úkol (iii)

Cílem tohoto úkolu je zjištění přesnosti odhadů prostřednictvím grafického znázornění, pomocí 3- σ elips. Tento způsob byl zvolen, protože interpretovat přesnost přímo z hodnot kovariančních matic může být obtížné. Pro nestranný odhad s kovarianční maticí \mathbf{P} se jedná o křivku definovanou následující rovnicí:

$$\mathbf{x} \in \mathbb{R}^2 : (\mathbf{x} - \mathbf{x}_0)^T \mathbf{P}^{-1} (\mathbf{x} - \mathbf{x}_0) = 9 \quad (45)$$

Pro získání jednotlivých 3- σ elips je třeba nejprve nalézt křivky, které splňují následující předpis:

$$\mathbf{u} \in \mathbb{R}^2 : \mathbf{u}^T \mathbf{u} = 1, \quad (46)$$

což je rovnice pomocí, které může být definována jednotková kružnice.

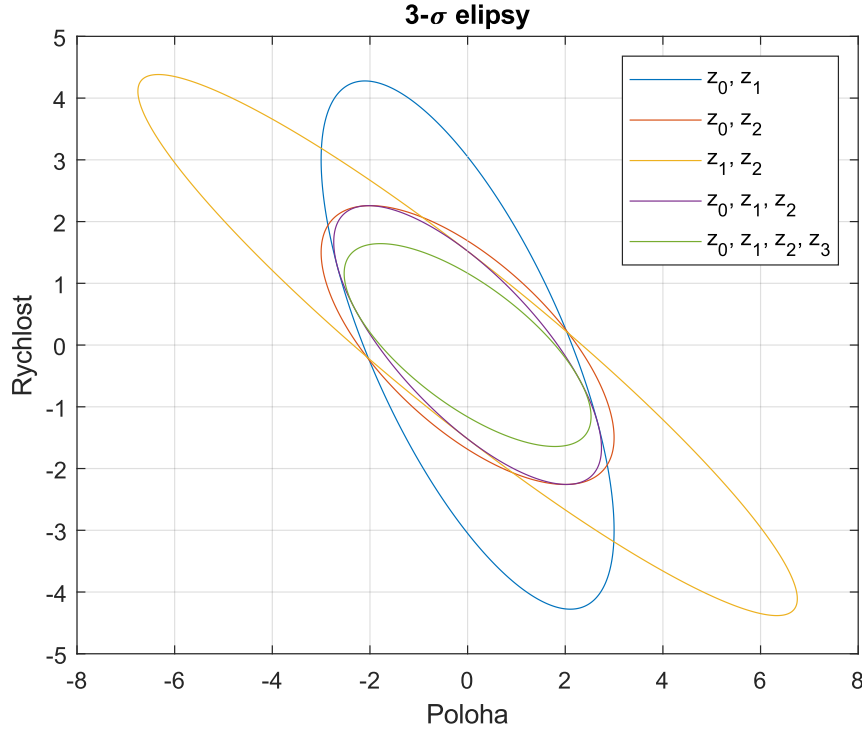
Na rovnici (46) je třeba následně použít transformaci, která je zadána pomocí následující rovnice:

$$\mathbf{x} = \mathbf{x}_0 + 3\mathbf{S}\mathbf{u}, \quad (47)$$

kde \mathbf{S} je maticová odmocnina matice \mathbf{P} splňující kritérium $\mathbf{S}\mathbf{S}^T = \mathbf{P}$, což je např. Choleského faktor. V našem případě byla matice \mathbf{S} kovarianční maticí chyby odhadu. V našem případě matice \mathbf{S} reprezentuje kovarianční matici chyby odhadu jednotlivých měření. Kovarianční matice chyby odhadu byly vypočteny pomocí následujícího vzorce:

$$\text{cov}[\tilde{\mathbf{x}}] = (\mathbf{J}^T \boldsymbol{\Sigma}^{-1} \mathbf{J})^{-1}, \quad (48)$$

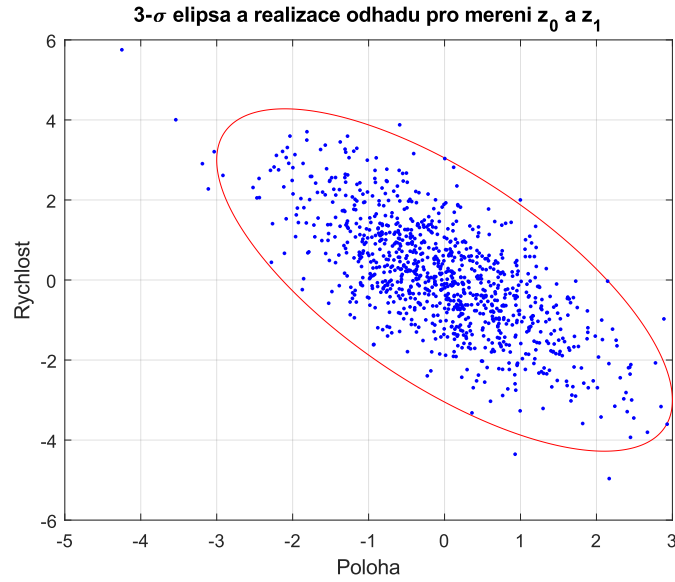
kde za \mathbf{J} a $\boldsymbol{\Sigma}$ byly dosazovány již předtím získané matice \mathbf{J} a $\boldsymbol{\Sigma}$ konkrétních měření A)-E).



Obrázek 1: Vykreslení jednotlivých 3- σ elips pro různá měření A)-E), kde $\mathbf{x}_0 = \begin{bmatrix} 0 \\ 0 \end{bmatrix}$. Nejhorší přesnost odhadu dostaneme, pokud není k dispozici první a poslední měření. Naopak nejlepší přesnost odhadu lze dostat, pokud jsou k dispozici všechna měření.

2.2 Simulační úkoly

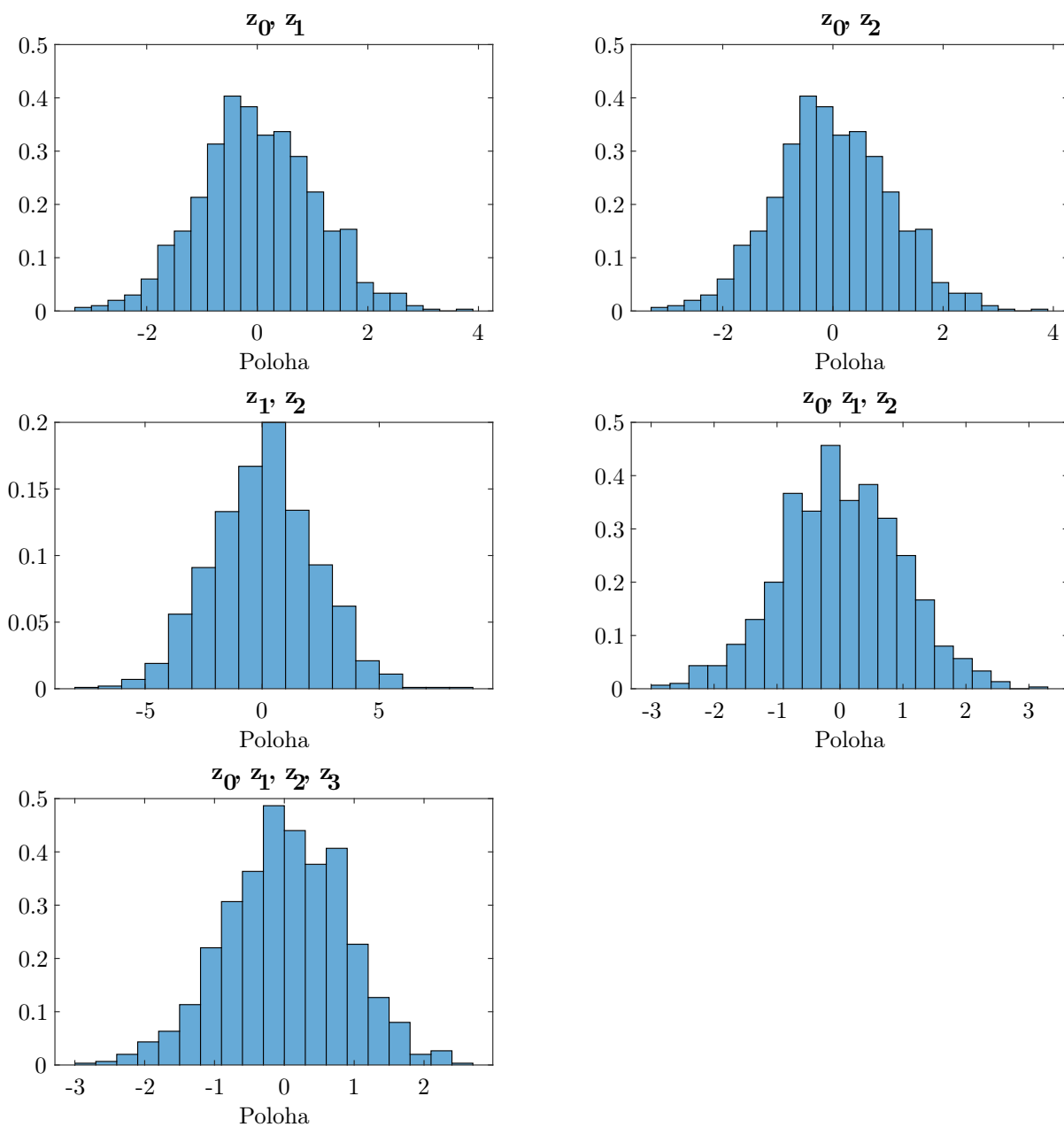
Nejprve bylo třeba pomocí funkce *randn* vygenerovat 1000 realizací náhodného vektoru \mathbf{z} . Následně byly pro každý vygenerovaný vektor měření \mathbf{z} dopočítány realizace odhadů $\hat{\mathbf{x}}_0$ pro jednotlivé varianty A)-E).



Obrázek 2: Kontrolní vykreslení $3\text{-}\sigma$ elipsy společně s realizacemi odhadů pro měření z_0 a z_1 , $\mathbf{x}_0 = \begin{bmatrix} 0 \\ 0 \end{bmatrix}$.

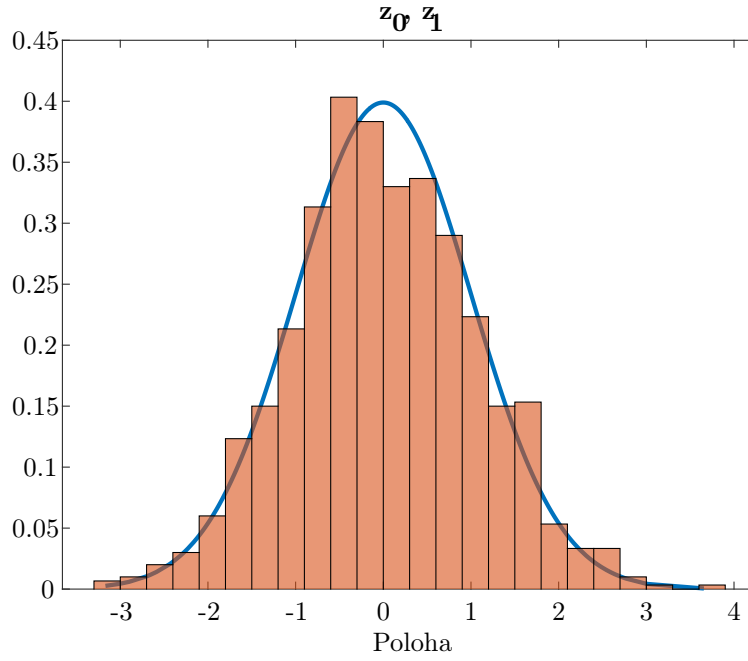
2.2.1 Úkol (i)

V této části byly nejprve odhadnuty hustoty jednotlivých odhadů *polohy* pomocí normalizovaných histogramů. Tyto histogramy byly mezi sebou následně porovnány.

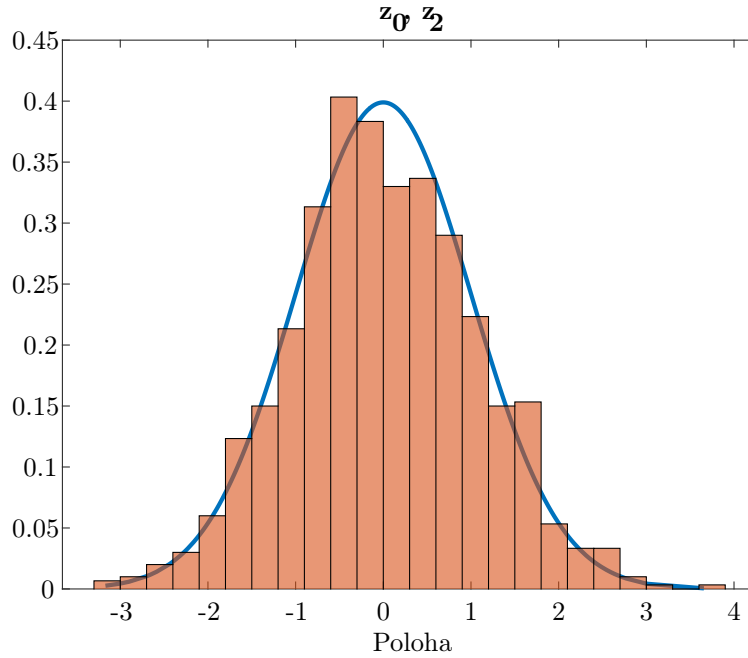


Obrázek 3: Vzájemné porovnání histogramů jednotlivých měření. Lze si povšimnout, že histogramy měření z_0, z_1 a z_0, z_2 jsou shodné.

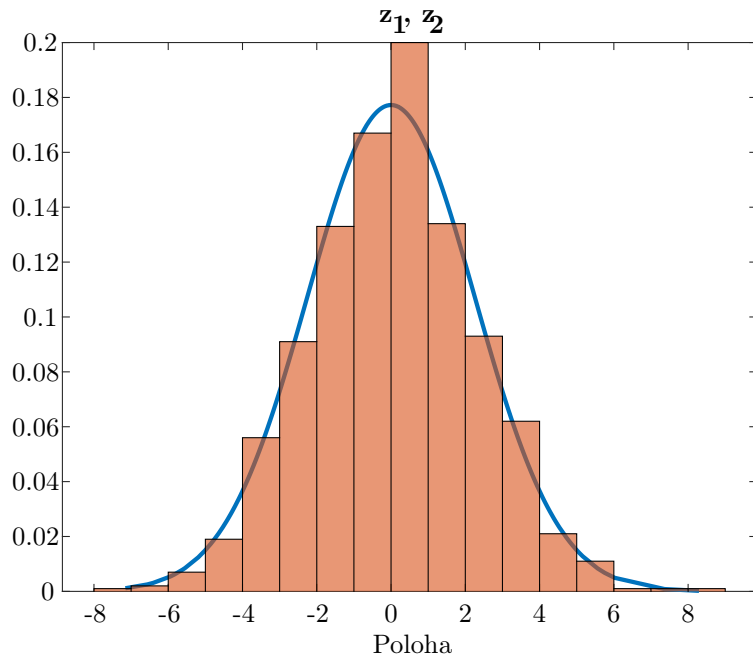
Poté byly získané normalizované histogramy byly porovnány s teoretickými hustotami $\mathcal{N}\{\bar{x}_0^{\text{poloha}}, \mathbf{P}_{\text{na pozici } 1, 1}^{\text{daný případ}}\}$. Teoretická střední hodnota $\bar{x}_0^{\text{poloha}}$ všech teoretických hustot byla zvolena rovna 0. Matice \mathbf{P} byla rovna kovarianční matici chyb odhadu konkrétního měření.



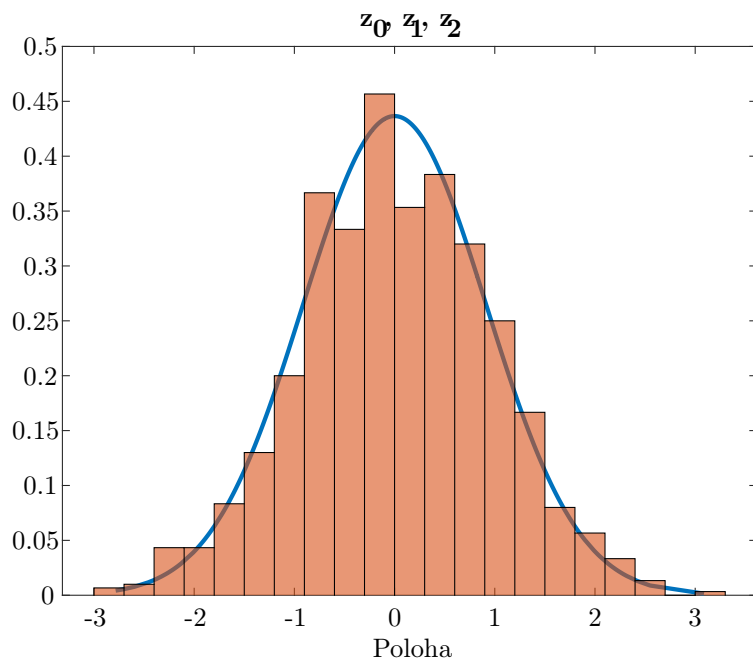
Obrázek 4: Porovnání získaného histogramu měření z_0, z_1 s příslušnou teoretickou hustotou.



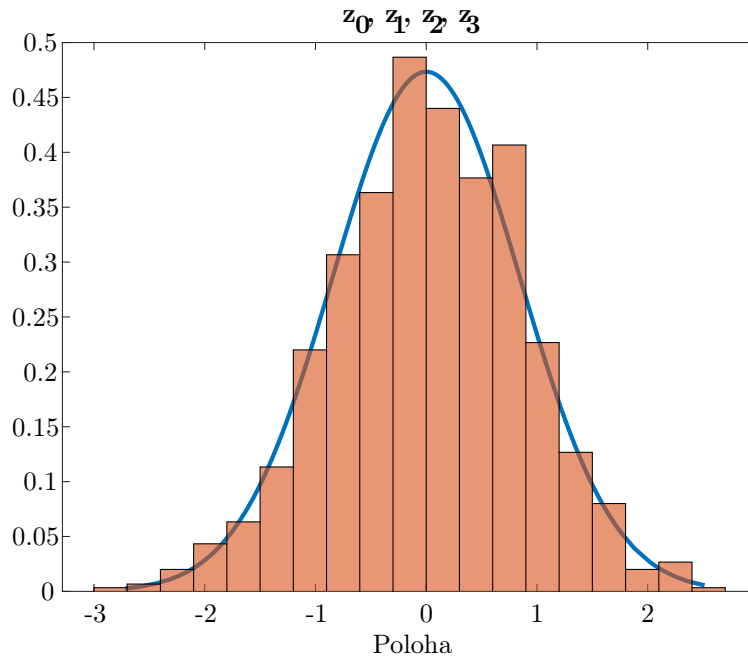
Obrázek 5: Porovnání získaného histogramu měření z_0, z_2 s příslušnou teoretickou hustotou.



Obrázek 6: Porovnání získaného histogramu měření z_1, z_2 s příslušnou teoretickou hustotou.



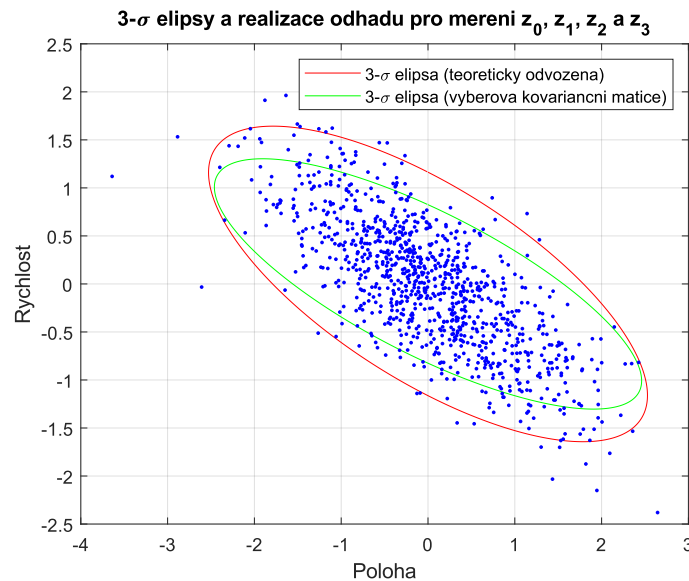
Obrázek 7: Porovnání získaného histogramu měření z_0, z_1, z_2 s příslušnou teoretickou hustotou.



Obrázek 8: Porovnání získaného histogramu měření z_0, z_1, z_2, z_3 s příslušnou teoretickou hustotou.

2.2.2 Úkol (ii)

V tomto úkolu byla pro variantu E) porovnána příslušná teoreticky odvozená $3\text{-}\sigma$ elipsa s $3\text{-}\sigma$ elipsou, odpovídající výběrové kovarianční matici. Výběrová kovarianční matice byla získána pomocí Matlab příkazu `cov()`.



Obrázek 9: Vykreslení teoreticky odvozené $3\text{-}\sigma$ elipsy a $3\text{-}\sigma$ elipsy, odpovídající výběrové kovarianční matici, společně s realizacemi odhadu pro měření z_0, z_1, z_2 a z_3 .

3 Závěr

Tématem této semestrální práce byl odhad konstantní veličiny, který byl zjišťován pomocí metody odhadu podle vážených nejmenších čtverců. Byl uvažován objekt, pohybující se po přímce s náhodným zrychlením, zatímco jeho poloha byla měřena s konstantní periodou T . Hlavním cílem bylo na základě měření a modelu systému odhadnout neznámou, ale konstantní počáteční polohu a rychlost objektu.

V první fázi bylo třeba nejprve formulovat problém odhadu x_0 pomocí vážených nejmenších čtverců. Poté bylo pozorováno, co se stane, když budou využívána pouze některá měření. Jelikož zjistit přesnost rovnou z hodnot kovariančních matic může být obtížné, byly vykresleny tzv. $3\text{-}\sigma$ elipsy, pomocí kterých lze snadněji interpretovat přesnost.

Druhá fáze se týkala simulačních úloh. Nejprve bylo vygenerováno 1000 realizací náhodného vektoru z . Poté byly, pro každý vektor měření z , dopočteny realizace odhadů x_0 . Na základě toho byly následně odhadnuty hustoty jednotlivých odhadů polohy pomocí normalizovaných histogramů, které byly porovnány, jak mezi sebou, tak s teoretickými hustotami. Na závěr byly pro variantu E) porovnány dvě $3\text{-}\sigma$ elipsy (teoreticky odvozená a odpovídající výběrové kovarianční matici) společně s příslušnými realizacemi.

A Zdrojový kód z Matlabu

```

1  clc
2  close all
3  clear all
4
5  %% Semestrální práce c. 1 – TOD
6  % Jan Burian
7
8  %% I. Teoretická část
9  % Zadání systému
10 %  $x_{k+1} = Fx_k + Gw_k, w_k \sim N(0, Q)$ 
11 %  $z_k = Hx_k + v_k, v_k \sim N(0, R)$ 
12
13 %% Úkol (i)
14 % Parametry systému (zatím obecně)
15 syms T q R real
16 F = [1 T;
17      0 1];
18 G = 1;
19 H = [1 0];
20 Q = q * [T^3/3    T^2/2;
21          T^2/2    T];
22
23 %% Dosazení do získané kovarianční matice Sigma
24 sigma = [R          0          0          0;
25          0          H*Q*H' + R    H*F*Q*H'    H*F^2*Q*H';
26          0          H*F*Q*H'      H*F*Q*(H*F)' + H*Q*H' + R    H*F*Q*(H*F
27          ^2)' + H*F*Q*H';
28          0          H*F^2*Q*H'      H*F*Q*(H*F^2)' + H*F*Q*H'    H*F^2*Q*(H*
29          F^2)' + H*F*Q*(H*F)' + H*Q*H' + R];
30
31 %% Metoda vážených nejmenších čtverců
32 J = [H; H*F; H*F^2; H*F^3];
33 J_T = J';
34 sigma_inv = inv(sigma);
35
36 x_mvnc = simplify(inv(J_T * sigma_inv * J) * J_T * sigma_inv);
37
38 %% Úkol (ii)
39 A_sigma = sigma([1,2],[1,2]); % měření z0, z1
40 B_sigma = sigma([1,3],[1,3]); % měření z0, z2
41 C_sigma = sigma([2,3],[2,3]); % měření z1, z2
42 D_sigma = sigma((1:3),(1:3)); % měření z0, z1, z2
43
44 J_A = [H; H*F];
45 J_B = [H; H*F^2];
46 J_C = [H*F; H*F^2];
47 J_D = [H; H*F; H*F^2];
48
49 J_T_A = J_A';
50 J_T_B = J_B';
51 J_T_C = J_C';
52 J_T_D = J_D';

```

```

50 J_T_D = J_D';
51
52 A_sigma_inv = inv(A_sigma);
53 B_sigma_inv = inv(B_sigma);
54 C_sigma_inv = inv(C_sigma);
55 D_sigma_inv = inv(D_sigma);
56
57 x_mvnc_A = simplify(inv(J_T_A * A_sigma_inv * J_A) * J_T_A * A_sigma_inv)
    ;
58 x_mvnc_B = simplify(inv(J_T_B * B_sigma_inv * J_B) * J_T_B * B_sigma_inv)
    ;
59 x_mvnc_C = simplify(inv(J_T_C * C_sigma_inv * J_C) * J_T_C * C_sigma_inv)
    ;
60 x_mvnc_D = simplify(inv(J_T_D * D_sigma_inv * J_D) * J_T_D * D_sigma_inv)
    ;
61
62 %% Dosazeni T = 1, q = 0.1, R = 1
63 subs_nezname = [T q R];
64 subs_nezname_hodnoty = [1 0.1 1];
65
66 A_odhad_subs = subs(x_mvnc_A, subs_nezname, subs_nezname_hodnoty);
67 B_odhad_subs = subs(x_mvnc_B, subs_nezname, subs_nezname_hodnoty);
68 C_odhad_subs = subs(x_mvnc_C, subs_nezname, subs_nezname_hodnoty);
69 D_odhad_subs = subs(x_mvnc_D, subs_nezname, subs_nezname_hodnoty);
70 E_odhad_subs = subs(x_mvnc, subs_nezname, subs_nezname_hodnoty);
71
72 A_sigma_subs = subs(A_sigma, subs_nezname, subs_nezname_hodnoty);
73 B_sigma_subs = subs(B_sigma, subs_nezname, subs_nezname_hodnoty);
74 C_sigma_subs = subs(C_sigma, subs_nezname, subs_nezname_hodnoty);
75 D_sigma_subs = subs(D_sigma, subs_nezname, subs_nezname_hodnoty);
76 E_sigma_subs = subs(sigma, subs_nezname, subs_nezname_hodnoty);
77
78 %% Vypocet kovariancnich matic chyby odhadu – potrebne na vykresleni
    elips
79 % (J^T W J)^{-1}
80
81 covA = inv(J_T_A * A_sigma_inv * J_A);
82 covB = inv(J_T_B * B_sigma_inv * J_B);
83 covC = inv(J_T_C * C_sigma_inv * J_C);
84 covD = inv(J_T_D * D_sigma_inv * J_D);
85 covE = inv(J_T * sigma_inv * J);
86
87 %% Dosazeni T = 1, q = 0.1, R = 1 do matic covA, covB, covC, covD, covE
88 subs_nezname = [T q R];
89 subs_nezname_hodnoty = [1 0.1 1];
90
91 cov_A_subs = subs(covA, subs_nezname, subs_nezname_hodnoty);
92 cov_B_subs = subs(covB, subs_nezname, subs_nezname_hodnoty);
93 cov_C_subs = subs(covC, subs_nezname, subs_nezname_hodnoty);
94 cov_D_subs = subs(covD, subs_nezname, subs_nezname_hodnoty);
95 cov_E_subs = subs(covE, subs_nezname, subs_nezname_hodnoty);
96
97 %% Ukol (iii)

```

```

108 % Vykresleni elips
109 x0 = [0; 0];
110 t = 0:0.01:2*pi;
111
112 x = sin(t);
113 y = cos(t);
114
115 vector_xy = [x; y];
116 xy = zeros(2, length(t));
117
118 cells_cov = cell(1,5);
119 cells_cov{1} = cov_A_subs;
120 cells_cov{2} = cov_B_subs;
121 cells_cov{3} = cov_C_subs;
122 cells_cov{4} = cov_D_subs;
123 cells_cov{5} = cov_E_subs;
124
125 figure;
126 for i = 1:length(cells_cov)
127     S = cells_cov{i};
128     P = chol(S, 'lower');
129     for j = 1:length(t)
130         xy(:,j) = x0 + 3 * P * vector_xy(:,j);
131     end
132     plot(xy(1,:), xy(2,:));
133
134     hold on;
135 end
136
137 title('3-\sigma elipsy');
138 xlabel('Poloha');
139 ylabel('Rychlost');
140 legend('z_0, z_1', 'z_0, z_2', 'z_1, z_2', 'z_0, z_1, z_2', 'z_0, z_1, z_2', 'z_3')
141 grid on;
142
143 %% II. Simulacni cast
144 %% Ukol (i)
145 % Vygenerovani 1000 realizaci nahodneho vektoru z
146 N = 1000;
147 pocet_mereni = 4;
148
149 Z = randn(N, pocet_mereni);
150
151 %% Vypoctene estimatory
152 est_z0_z1 = double(A_odhad_subs);
153 est_z0_z2 = double(B_odhad_subs);
154 est_z1_z2 = double(C_odhad_subs);
155 est_z0_z1_z2 = double(D_odhad_subs);
156 est_z0_z1_z2_z3 = double(E_odhad_subs);
157
158 %% Realizace odhadu
159 res_z0_z1 = zeros(2,N); %[poloha; rychlost]

```

```

150 res_z0_z2 = zeros(2,N); %[poloha; rychlost]
151 res_z1_z2 = zeros(2,N); %[poloha; rychlost]
152 res_z0_z1_z2 = zeros(2,N); %[poloha; rychlost]
153 res_z0_z1_z2_z3 = zeros(2,N); %[poloha; rychlost]
154
155 for m = 1:1:N
156     mereni = Z(m,:);
157     z0 = mereni(1);
158     z1 = mereni(2);
159     z2 = mereni(3);
160     z3 = mereni(4);
161
162     real_z0_z1 = est_z0_z1 * [z0; z1];
163     real_z0_z2 = est_z0_z2 * [z0; z2];
164     real_z1_z2 = est_z1_z2 * [z1; z2];
165     real_z0_z1_z2 = est_z0_z1_z2 * [z0; z1; z2];
166     real_z0_z1_z2_z3 = est_z0_z1_z2_z3 * [z0; z1; z2; z3];
167
168     res_z0_z1(:,m) = real_z0_z1;
169     res_z0_z2(:,m) = real_z0_z2;
170     res_z1_z2(:,m) = real_z1_z2;
171     res_z0_z1_z2(:,m) = real_z0_z1_z2;
172     res_z0_z1_z2_z3(:,m) = real_z0_z1_z2_z3;
173 end
174
175 %% Histogramy – Ukol (ii)
176 subplot(3,2,1)
177 histogram(res_z0_z1(1,:), 'Normalization','pdf')
178 xlabel('Poloha');
179 title('z_0, z_1');
180
181 subplot(3,2,2)
182 histogram(res_z0_z2(1,:), 'Normalization','pdf');
183 xlabel('Poloha');
184 title('z_0, z_2');
185
186 subplot(3,2,3)
187 histogram(res_z1_z2(1,:), 'Normalization','pdf');
188 xlabel('Poloha');
189 title('z_1, z_2');
190
191 subplot(3,2,4)
192 histogram(res_z0_z1_z2(1,:), 'Normalization','pdf');
193 xlabel('Poloha');
194 title('z_0, z_1, z_2');
195
196 subplot(3,2,5)
197 histogram(res_z0_z1_z2_z3(1,:), 'Normalization','pdf');
198 xlabel('Poloha');
199 title('z_0, z_1, z_2, z_3');
200
201 %% Gaussovy krivky pro jednotlivá mereni
202 var_z0_z1 = cov_A_subs(1, 1);

```

```

203 var_z0_z2 = cov_B_subs(1, 1);
204 var_z1_z2 = cov_C_subs(1, 1);
205 var_z0_z1_z2 = cov_D_subs(1, 1);
206 var_z0_z1_z2_z3 = cov_E_subs(1, 1);
207
208 mean_teo = 0;
209
210 x_z0_z1 = sort(res_z0_z1(1, :));
211 x_z0_z2 = sort(res_z0_z2(1, :));
212 x_z1_z2 = sort(res_z1_z2(1, :));
213 x_z0_z1_z2 = sort(res_z0_z1_z2(1, :));
214 x_z0_z1_z2_z3 = sort(res_z0_z1_z2_z3(1, :));
215
216 y_z0_z1 = normpdf(x_z0_z1, mean_teo, sqrt(var_z0_z1));
217 y_z0_z2 = normpdf(x_z0_z2, mean_teo, sqrt(var_z0_z2));
218 y_z1_z2 = normpdf(x_z1_z2, mean_teo, sqrt(var_z1_z2));
219 y_z0_z1_z2 = normpdf(x_z0_z1_z2, mean_teo, sqrt(var_z0_z1_z2));
220 y_z0_z1_z2_z3 = normpdf(x_z0_z1_z2_z3, mean_teo, sqrt(var_z0_z1_z2_z3));
221
222 % Vykresleni
223 figure;
224 plot(x_z0_z1, y_z0_z1, 'LineWidth', 2);
225 hold on;
226 histogram(res_z0_z1(1, :), 'Normalization', 'pdf');
227 title('z_0, z_1');
228 xlabel('Poloha');
229
230 figure;
231 plot(x_z0_z2, y_z0_z2, 'LineWidth', 2);
232 hold on;
233 histogram(res_z0_z2(1, :), 'Normalization', 'pdf');
234 title('z_0, z_2');
235 xlabel('Poloha');
236
237 figure;
238 plot(x_z1_z2, y_z1_z2, 'LineWidth', 2);
239 hold on;
240 histogram(res_z1_z2(1, :), 'Normalization', 'pdf');
241 title('z_1, z_2');
242 xlabel('Poloha');
243
244 figure;
245 plot(x_z0_z1_z2, y_z0_z1_z2, 'LineWidth', 2);
246 hold on;
247 histogram(res_z0_z1_z2(1, :), 'Normalization', 'pdf');
248 title('z_0, z_1, z_2');
249 xlabel('Poloha');
250
251 figure;
252 plot(x_z0_z1_z2_z3, y_z0_z1_z2_z3, 'LineWidth', 2);
253 hold on;
254 histogram(res_z0_z1_z2_z3(1, :), 'Normalization', 'pdf');
255 title('z_0, z_1, z_2, z_3');

```

```

256 xlabel('Poloha');
257
258 %% Ukol (ii)
259 vyber_cov = cov(res_z0_z1_z2_z3');
260
261 figure
262 P = chol(cov_E_subs, 'lower');
263 for j = 1:length(t)
264     xy(:,j) = x0 + 3 * P * vector_xy(:,j);
265 end
266 plot(xy(1,:),xy(2,:), 'r');
267 hold on;
268 P = chol(vyber_cov, 'lower');
269 for j = 1:length(t)
270     xy(:,j) = x0 + 3 * P * vector_xy(:,j);
271 end
272 plot(xy(1,:),xy(2,:), 'g');
273 hold on
274 scatter(res_z0_z1_z2(1,:), res_z0_z1_z2(2,:), '.','b');
275
276 title('3-\sigma elipsy a realizace odhadu pro mereni z_0, z_1, z_2 a z_3'
);
277 legend('3-\sigma elipsa (teoreticky odvozena)', '3-\sigma elipsa (vyberova
kovariancni matice)');
278 xlabel('Poloha');
279 ylabel('Rychlost');
280 grid on;

```

Seznam obrázků

1	Vykreslení jednotlivých $3\text{-}\sigma$ elips pro různá měření A)-E), kde $\mathbf{x}_0 = [00]$. Nejhorší přesnost odhadu dostaneme, pokud není k dispozici první a poslední měření. Naopak nejlepší přesnost odhadu lze dostat, pokud jsou k dispozici všechna měření.	11
2	Kontrolní vykreslení $3\text{-}\sigma$ elipsy společně s realizacemi odhadů pro měření z_0 a z_1 , $\mathbf{x}_0 = [00]$	12
3	Vzájemné porovnání histogramů jednotlivých měření. Lze si povšimnout, že histogramy měření z_0, z_1 a z_0, z_2 jsou shodné.	13
4	Porovnání získaného histogramu měření z_0, z_1 s příslušnou teoretickou hustotou. . . .	14
5	Porovnání získaného histogramu měření z_0, z_2 s příslušnou teoretickou hustotou. . . .	14
6	Porovnání získaného histogramu měření z_1, z_2 s příslušnou teoretickou hustotou. . . .	15
7	Porovnání získaného histogramu měření z_0, z_1, z_2 s příslušnou teoretickou hustotou. . .	15
8	Porovnání získaného histogramu měření z_0, z_1, z_2, z_3 s příslušnou teoretickou hustotou. .	16
9	Vykreslení teoreticky odvozené $3\text{-}\sigma$ elipsy a $3\text{-}\sigma$ elipsy, odpovídající výběrové kovarianční matici, společně s realizacemi odhadu pro měření pro měření z_0, z_1, z_2 a z_3	16